Лекция 2

Растворы электролитов

- Осмотическое давление $\pi = icRT$
- Давление пара над раствором $\Delta p = i \frac{p_0 M_0}{1000} c$
- Крио- и эбулиоскопия
- Тепловой эффект нейтрализации
- Кислотно-основной катализ

С.Аррениус, 1887 г.

- Спонтанная диссоциация при растворении
- Неполная диссоциация
- Применимость закона действующих масс
- Ионы не взаимодействуют друг с другом

$$MA = M^{+} + A^{-}$$
 $(1 - \alpha)c + \nu\alpha c = c[1 + \alpha(\nu - 1)]$

Кислота: $HA \leftrightarrow H^+ + A^-$

Основание: $MOH \leftrightarrow M^+ + OH^-$

Закон разведения В. Оствальда (1888 г.)

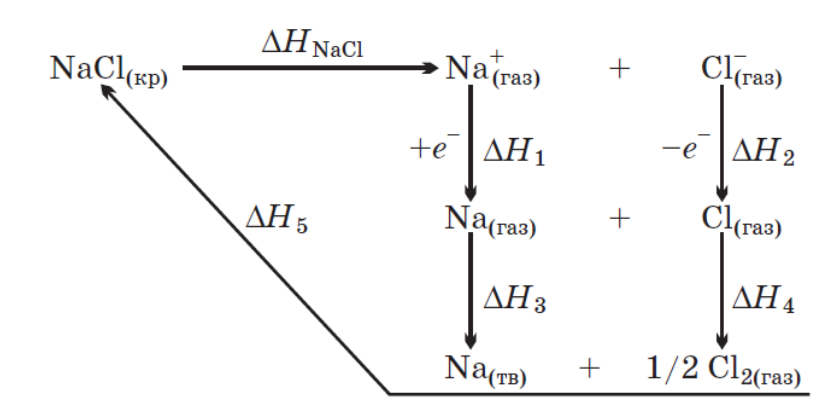
$$K = \frac{\alpha^2 c}{1 - \alpha}$$

Физические причины диссоциации?

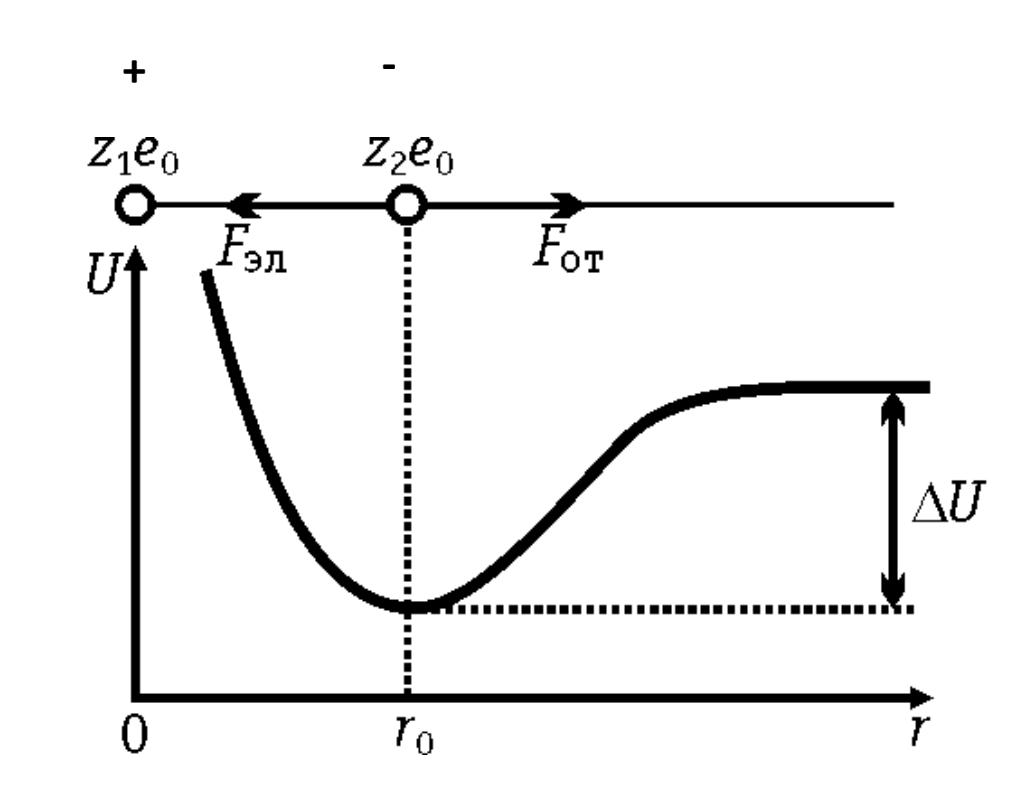
Энергия кристаллической решетки

Модель Борна (1920 г.)

$$F = -\frac{z_1 z_2 e_0^2}{4\pi \varepsilon_0 r^2} + \frac{B}{r^{n+1}}$$
 (n > 1)



$$\Delta G_{\mathrm{Kp}}^{NaCl} = 757 \; \mathrm{кДж/моль}$$



$$\Delta G_{\mathrm{Kp}} = N_A A \frac{z_1 z_2 e_0^2}{4\pi \varepsilon_0 r_0} \left(1 - \frac{1}{n} \right)$$



Макс Борн

$$\Delta G_{\mathrm{\kappa p}}^{\mathrm{NaCl}} = 762 \ \mathrm{кДж/моль}$$

A - константа Маделунга

A = 1.7476 (NaCl)

n = 7.5 (NaCl)

Энергия сольватации (М. Борн, 1920)

Энергия переноса иона из вакуума в растворитель

- Ион заряженный шар *r*_i
- Диэлектрический континуум ε
- Работа переноса незаряженной частицы в среду $W_2 = 0$
- Электронейтральность раствора

$$\Delta G_{s} = -N_{\rm A} \frac{z_{i}^{2} e_{0}^{2}}{8\pi \varepsilon_{o} r_{i}} \left(1 - \frac{1}{\varepsilon}\right)$$

 $\Delta H_s^{ ext{NaCl}}$ (эксп) = – 768 кДж/моль $\Delta H_s^{ ext{NaCl}}$ (Борн) = – 1121 кДж/моль

разряд в вакууме W_1 $W_2 = 0$ W_3 W_3 W_4 W_3 W_5 W_6 W_6 W_8 W_8

Уравнение Борна-Бьеррума

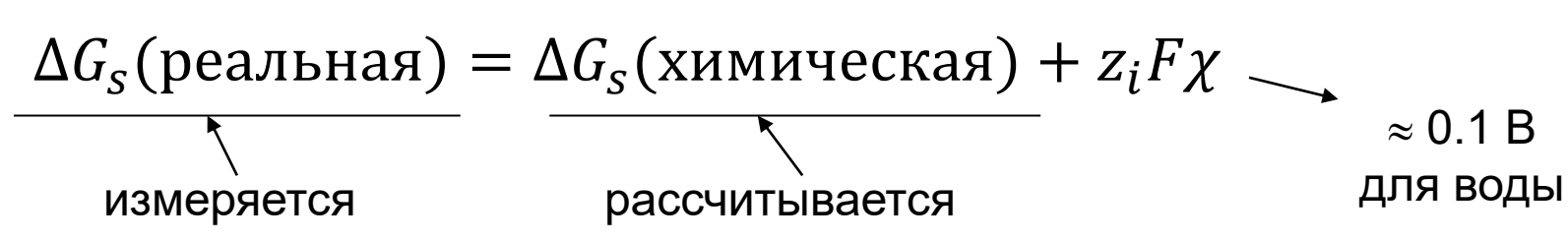
$$\Delta H = \Delta G - T \frac{d(\Delta G)}{dT}$$

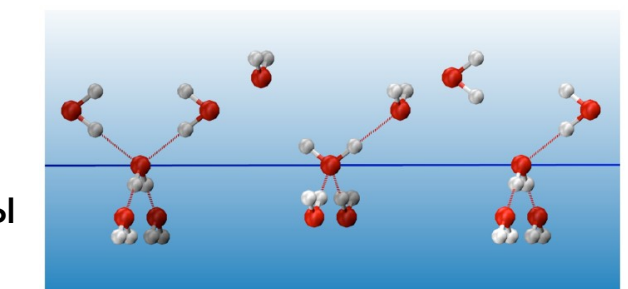
$$-\Delta H_{S} = N_{A} \frac{z_{i}^{2} e_{0}^{2}}{8\pi \varepsilon_{0} r_{i}} \left(1 - \frac{1}{\varepsilon} - \frac{T}{\varepsilon^{2}} \frac{\mathrm{d}\varepsilon}{\mathrm{d}T} \right)$$

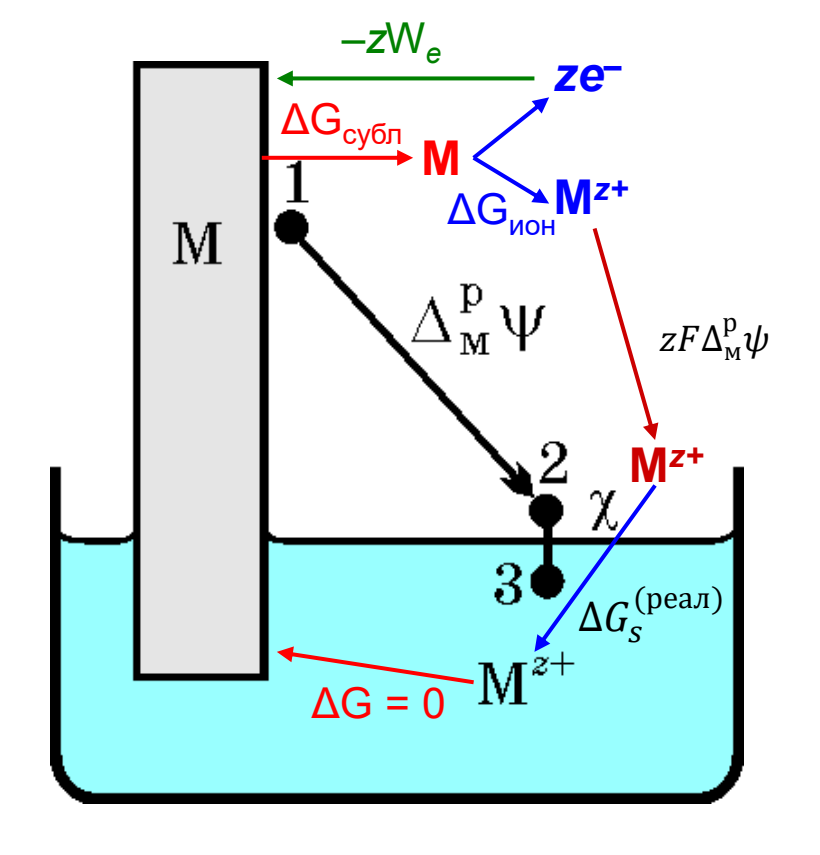
Способ расчета		ΔH_s	, кДж/м	ИОЛЬ	
	LiCl	NaCl	KCl	RbCl	CsCl
Из термодинамического цикла	-883	-768	-685	-664	-639
По модели Борна	-1549	-1121	-911	-857	-799

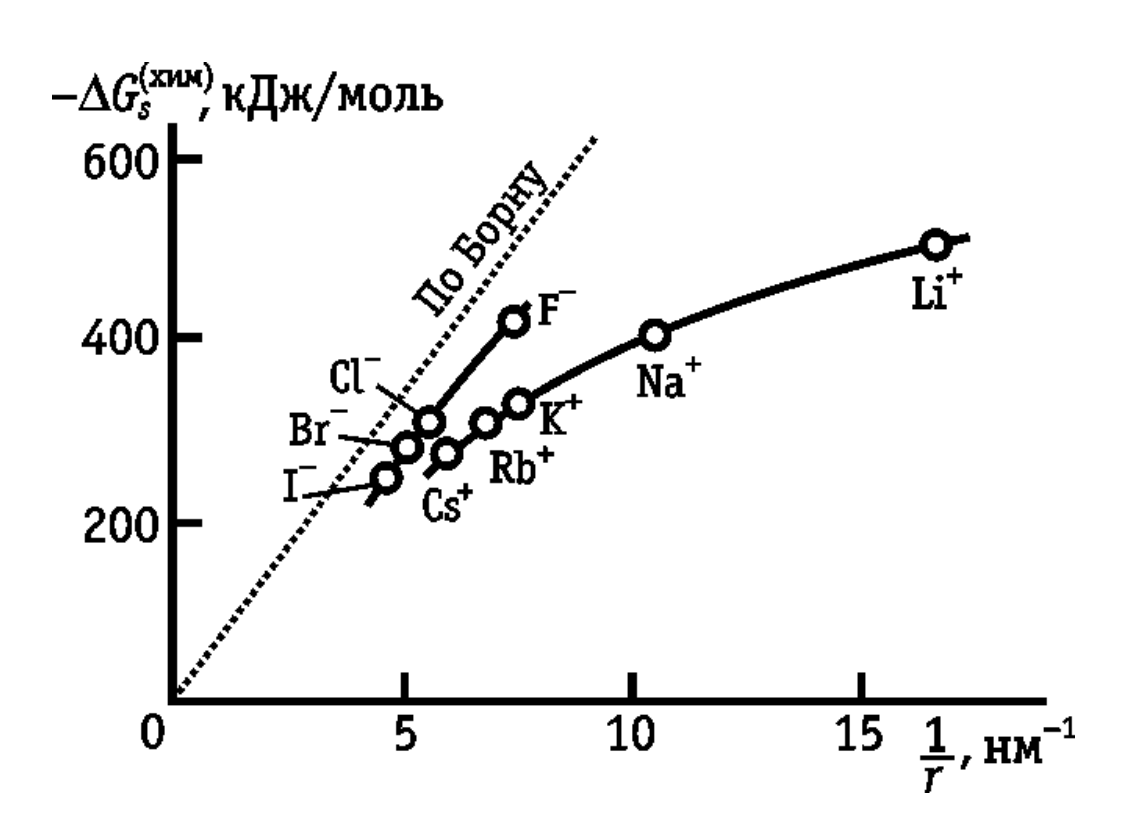
Реальная и химическая энергия сольватации

$$\Delta G_{\rm S}^{({
m pean})} = -\Delta G_{{
m cy6n}} - \Delta G_{{
m HOH}} + zW_e - zF\Delta_{{
m M}}^{
m p}\psi$$









Ион-ионные взаимодействия

- Все виды взаимодействий между частицами сводятся к отклонению экспериментально найденных активностей от соответствующих концентраций
- Нельзя измерить коэффициент активности отдельного иона → коэффициент активности соли

$$M_{\nu+}A_{\nu-} \leftrightarrows \nu_+ M^{z+} + \nu_- A^{z-}$$

$$\mu_{s} = \mu_{s}^{0} + RT \ln \left(\frac{a_{s}}{a_{s}^{0}}\right)$$
 $\mu_{+} = \mu_{+}^{0} + RT \ln \left(\frac{a_{+}}{a_{+}^{0}}\right)$
 $\mu_{-} = \mu_{-}^{0} + RT \ln \left(\frac{a_{-}}{a_{-}^{0}}\right)$

$$\mu_S^0 = \nu_+ \mu_+^0 + \nu_- \mu_-^0$$
 $\mu_S = \nu_+ \mu_+ + \nu_- \mu_-$



Средняя активность:
$$\mu_S = \mu_S^0 + RT \ln(a_+^{\nu_+} a_-^{\nu_-}) = \mu_S^0 + RT \ln a_S$$

$$a_{\pm} = v\sqrt{a_s} \qquad \qquad v = v_+ + v_-$$

Коэффициенты активности

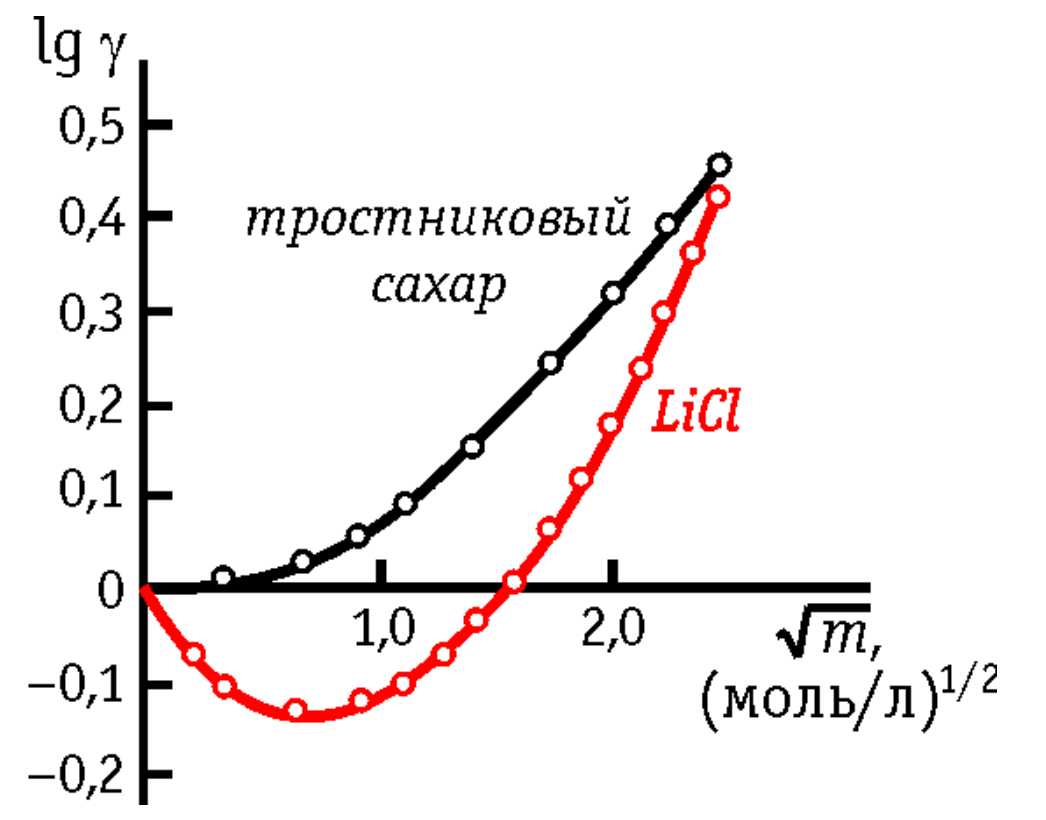


Тип электролита	1-1 $2-2$ $3-3$	$1-2 \\ 2-1$	3-1 1-3	$4-1 \\ 1-4$	$\begin{array}{c} 3-2 \\ 2-3 \end{array}$
L	1	$\sqrt[3]{4} \approx 1,587$	$\sqrt[4]{27} \approx 2,280$	$\sqrt[5]{256} \approx 3,031$	$\sqrt[5]{108} \approx 2,551$

 Стандартное состояние: гипотетический раствор, в котором активности всех ионов равны единице и одновременно отсутствует ион-ионное взаимодействие

$$f_{\pm}^{(N)} = \gamma_{\pm}(1 + 0.001\nu M_0 m)$$
 $f_{\pm} = \gamma_{\pm} \frac{\rho_0 m}{c}$

Коэффициенты активности





Петер ДЕБАЙ (Debye) 1884-1966

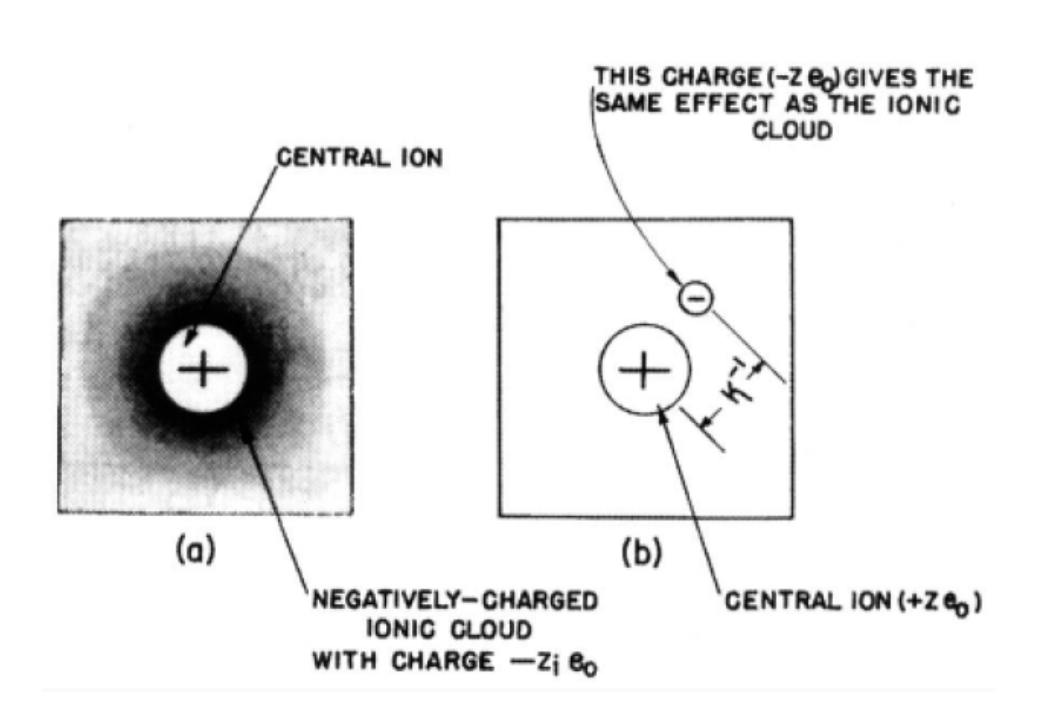


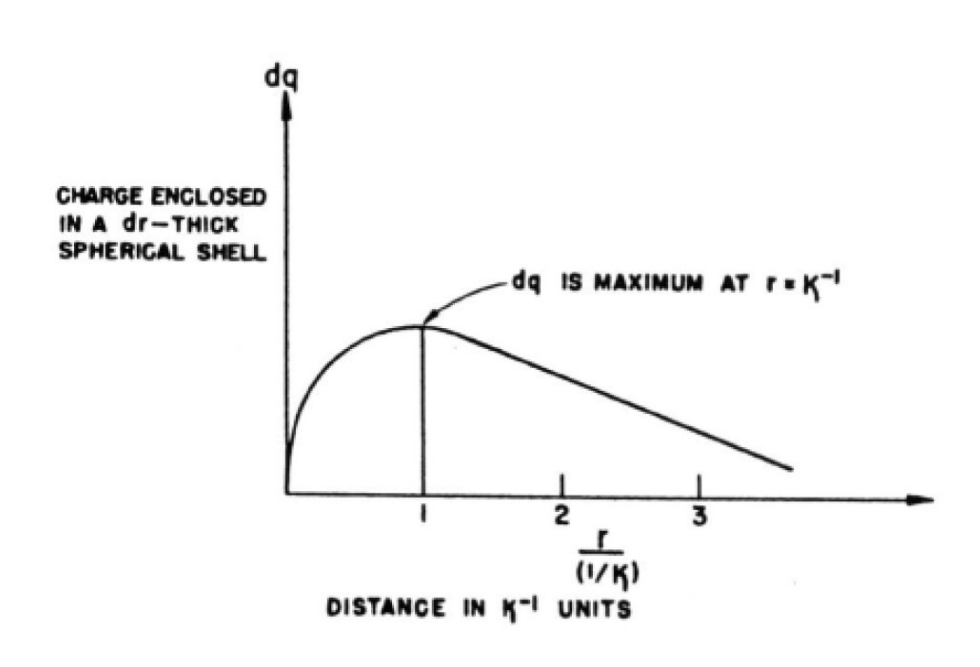
Эрих ХЮККЕЛЬ Hückel 1896-1980



Ларс Онзагер (1903-1976)

Ионная атмосфера





Thickness of Ionic Atmosphere (nm) at Various Concentrations and for Various Types of Salts

Concentration		Type of	f Salt	
(mol dm^{-3})	1:1	1:2	2:2	1:3
10^{-4} 10^{-3} 10^{-2} 10^{-1}	30.4	17.6	15.2	12.4
10^{-3}	9.6	5.55	4.81	3.93
10^{-2}	3.04	1.76	1.52	1.24
10^{-1}	0.96	0.55	0.48	0.39

Ионная атмосфера

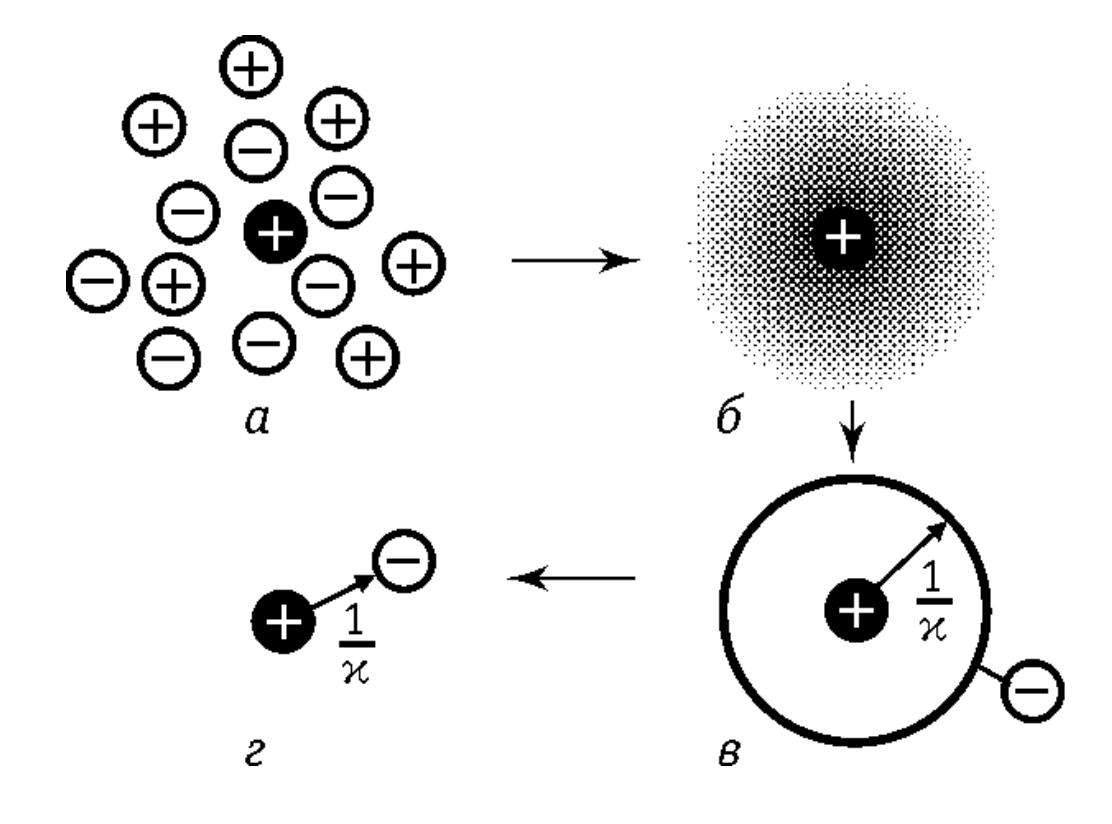
- Электролит полностью диссоциирован
- Растворитель континуум $\varepsilon_{
 m s}$
- Только электростатические взаимодействия
- Ионы мат. точки
- $z_i e_0 \varphi \ll kT$
- Первое приближение Дебая-Хюккеля:

$$\varphi = \frac{z_i e_0}{4\pi\varepsilon\varepsilon_0} \frac{e^{-\kappa r}}{r}$$

$$\kappa = \sqrt{\frac{e_0^2}{\varepsilon \varepsilon_0 kT}} \sum (n_{i0} z_i^2)$$

обратная дебаевская длина

• Изменение энергии иона за счет ионной атмосферы:



$$\Delta U = -\frac{z_i^2 e_0^2 \kappa}{8\pi \varepsilon \varepsilon_0}$$

Приближения теории Дебая-Хюккеля

1) Ионы – материальные точки
$$RT \ln f_i^N = N_A \Delta U = -N_A \frac{z_i^2 e_0^2 \kappa}{8\pi \varepsilon \varepsilon_0}$$

$$\ln f_i^N = -\frac{z_i^2 e_0^2}{8\pi (\varepsilon \varepsilon_0 kT)^{\frac{3}{2}}} \sqrt{\Sigma (n_{i0} z_i^2)} = -\frac{z_i^2 e_0^2}{8\pi (\varepsilon \varepsilon_0 kT)^{\frac{3}{2}}} \sqrt{2 \cdot 10^3 N_A J} \; ; \quad J = \frac{1}{2} \Sigma c_i \; z_i^2$$

Ионная сила
$$h = \frac{1.825 \cdot 10^6}{(\varepsilon T)^{3/2}} \ \left[\left(\text{л/моль}^{1/2} \right) \cdot K^{3/2} \right]$$

$$\lg f_i^N = -z_i^2 h \sqrt{J}$$
 ; $\lg f_\pm^N = -|z_+ z_-|h \sqrt{J}$; $c \leq 0.01$ моль/л

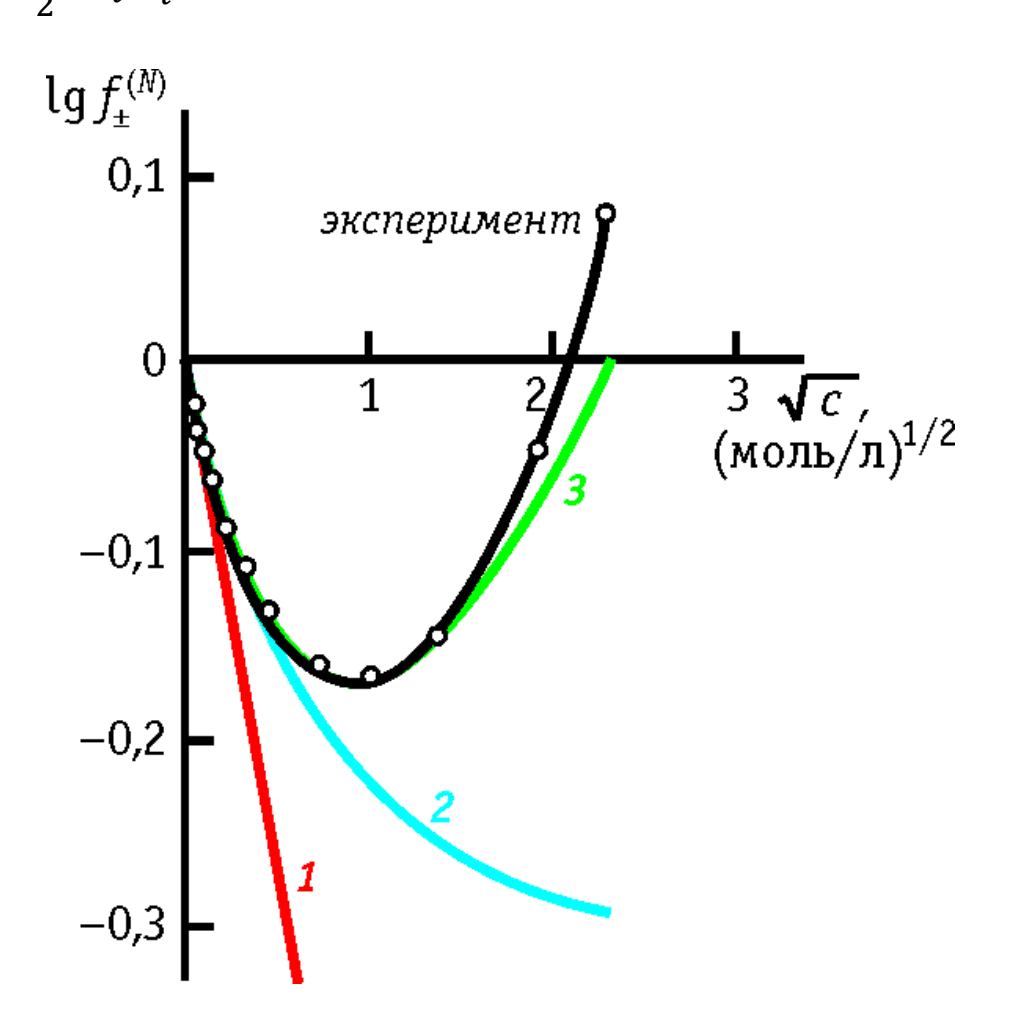
2) Конечный размер ионов

$$\lg f_{\pm}^N = -rac{|z_+z_-|h\sqrt{J}}{1+\kappa a} = -rac{|z_+z_-|h\sqrt{J}}{1+aB\sqrt{J}}$$
 $c \le 0.1$ моль/л

$$B = \frac{5.03 \cdot 10^{11}}{\sqrt{\varepsilon T}} \left[M^{-1} \cdot (\pi/\text{моль})^{1/2} \cdot K^{1/2} \right]$$

3) Дополнительный эмпирический параметр

$$\lg f_{\pm}^N = -rac{|z_+ z_-| h \sqrt{J}}{1 + a B \sqrt{J}} + CJ; \quad c \le 1 \div 2$$
 моль/л



Эффективные радиусы

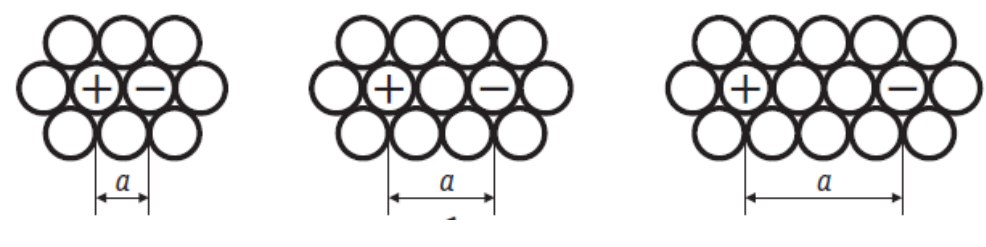
Table I

Parameter 108ai as Estimated by Various Methods

Ion	Effective diam. of unhy-drated ion	Bonino formula	Ior mobil	ities	and eff.	Rounded values
1011	diated ton	(eq. 2)	(eq. 3)	(eq. 4)	radius	(Table II)
Li +	0.8	6.2	4.7	5.6	5.3	6
Na+	1.0	4.2	3.6	4.3	4.7	4-4.5
K+	1.6	2.8	2.5	2.9	3.9	3
Rb+	1.8	2.45	2.4	2.8		2.5
Cs+	2.1	2.35	2.35	2.8		2.5

TABLE III

		M	ean ionic	activity	coefficien	
Electrolyte	Ionic conen. F	Exptl.	Table II	Approx. formula	Guggen- heim formula	Lewis- Randall tables
HI	0.01	0.927	0.928	0.927	0.927	0.95
	.02	.902	.906	. 90	.90	.92
	.04	.870	.875	. 865	.865	.895
	, 1	.822	.83	.81	.81	.86
	. 2	.787	.79	. 76	.76	.815
HCI	.01	.928	.928	.927	.927	.95
	.02	.905	.906	. 90	.90	.92
	.04	.878	.875	.865	.865	.895
	.1	.831	.83	.81	.81	.86
	.2	.799	.79	.76	.76	.815



Радиусы:

кристаллографические, стоксовы, эмпирические и т.д.

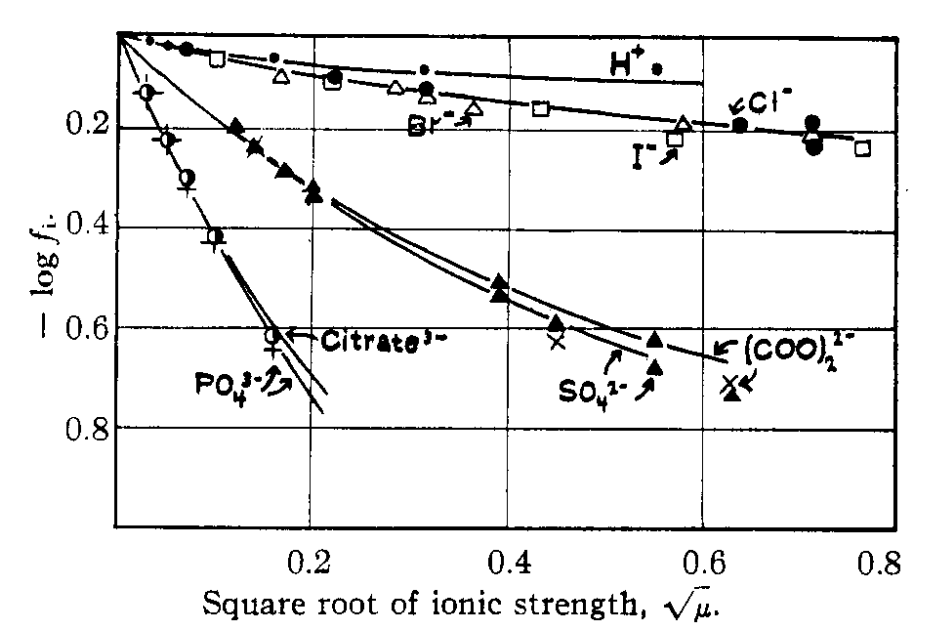
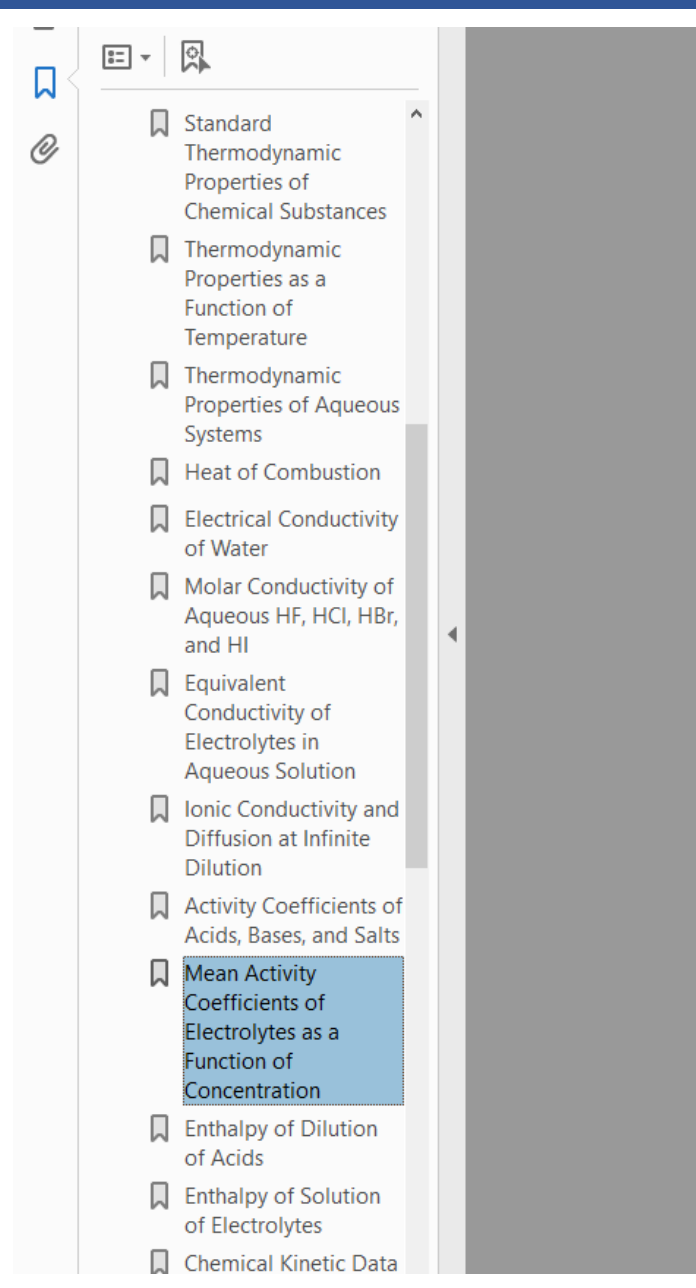


Fig. 1.—Individual activity coefficients of ions: drawn lines represent calculated values, with rounded a_i — figures given in Table I.

Handbook of Chemistry and Physics



MEAN ACTIVITY COEFFICIENTS OF ELECTROLYTES AS A FUNCTION OF CONCENTRATION

The mean activity coefficient γ of an electrolyte $X_a Y_b$ is defined as

$$\gamma = \left(\gamma_+^a \gamma_-^b\right)^{1/(a+b)}$$

where γ_+ and γ_- are activity coefficients of the individual ions (which cannot be directly measured). This table gives the mean activity coefficients of about 100 electrolytes in aqueous solution as a function of concentration, expressed in molality terms. All values refer to a temperature of 25°C. Substances are arranged in alphabetical order by formula.

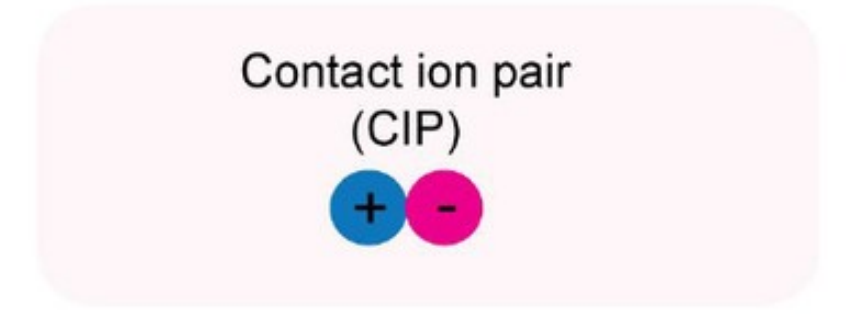
REFERENCES

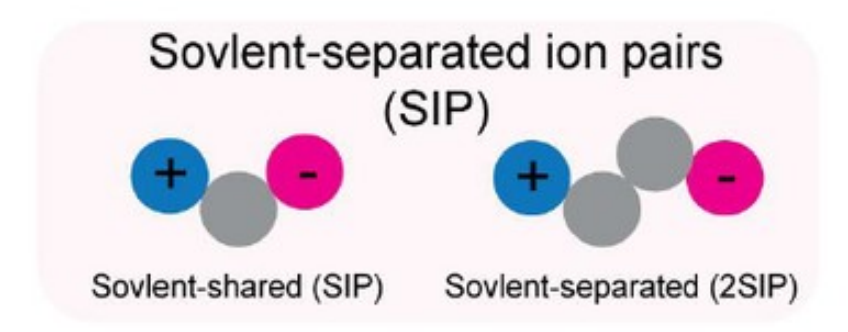
- 1. Hamer, W. J., and Wu, Y. C., J. Phys. Chem. Ref. Data, 1, 1047, 1972.
- 2. Staples, B. R., J. Phys. Chem. Ref. Data, 6, 385, 1977; 10, 767, 1981; 10, 779, 1981.
- 3. Goldberg, R. N. et al., J. Phys. Chem. Ref. Data, 7, 263, 1978; 8, 923, 1979; 8, 1005, 1979; 10, 1, 1981; 10, 671, 1981.

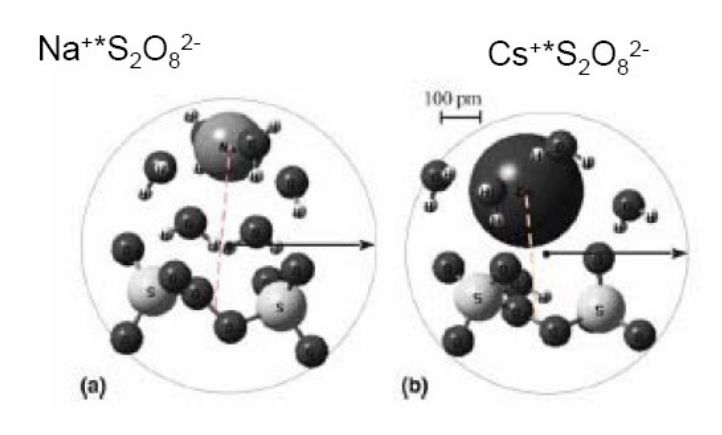
Mean Activity Coefficient at 25°C

$m/\mathrm{mol}~\mathrm{kg}^{-1}$	$AgNO_3$	$\mathbf{BaBr_2}$	$BaCl_2$	BaI_2	CaBr ₂	CaCl ₂	CaI ₂
0.001	0.964	0.881	0.887	0.890	0.890	0.888	0.890
0.002	0.950	0.850	0.849	0.853	0.853	0.851	0.853
0.005	0.924	0.785	0.782	0.792	0.791	0.787	0.791
0.010	0.896	0.727	0.721	0.737	0.735	0.727	0.736
0.020	0.859	0.661	0.653	0.678	0.674	0.664	0.677
0.050	0.794	0.573	0.559	0.600	0.594	0.577	0.600
0.100	0.732	0.517	0.492	0.551	0.540	0.517	0.552
0.200	0.656	0.463	0.436	0.520	0.502	0.469	0.524
0.500	0.536	0.435	0.391	0.536	0.500	0.444	0.554
1.000	0.430	0.470	0.393	0.664	0.604	0.495	0.729
2.000	0.316	0.654		1.242	1.125	0.784	
5.000	0.181				18.7	5.907	
10.000	0.108					43.1	
15.000	0.085						

Ионная ассоциация

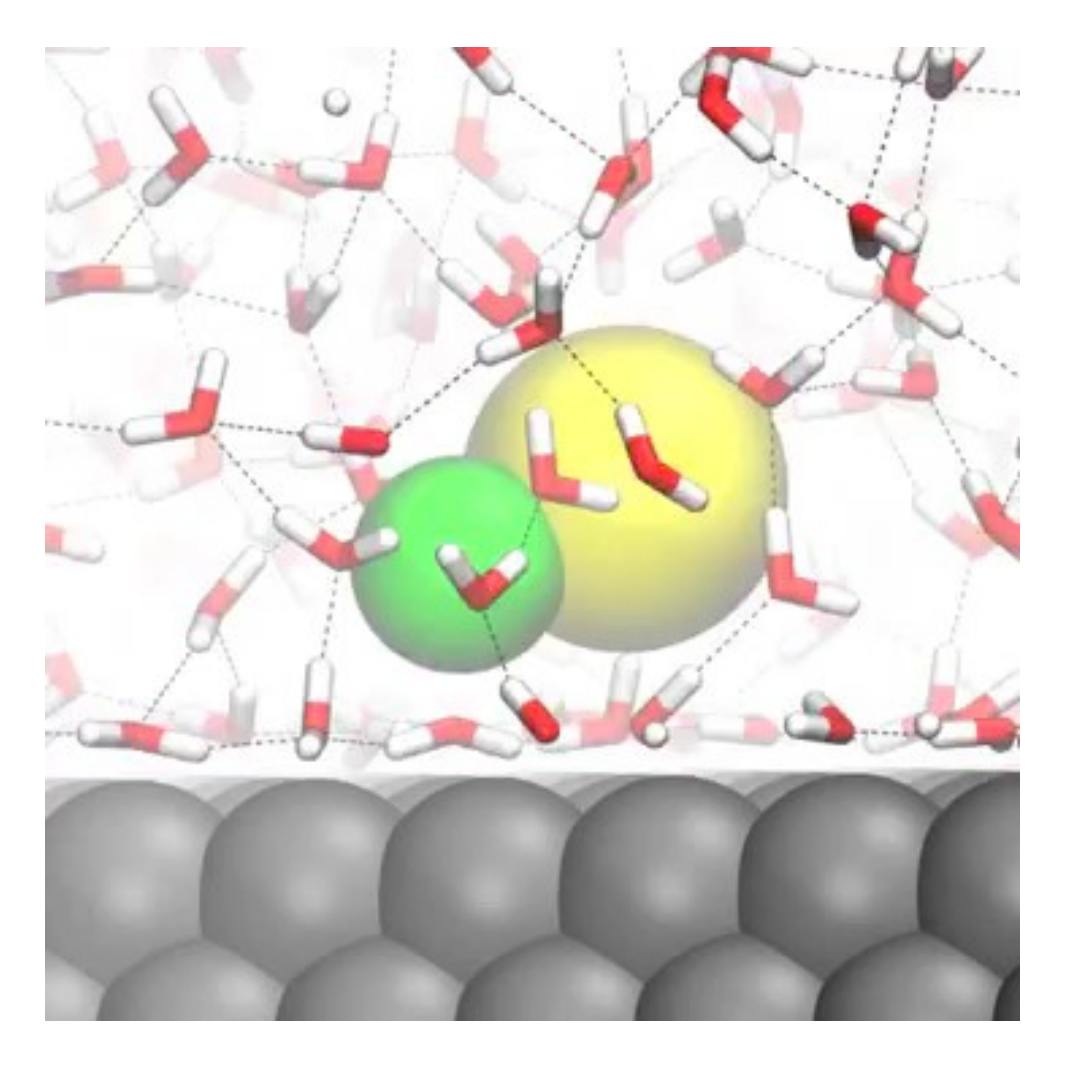






Сольватно-разделенная пара

Сольватно-неразделенная пара



Экспериментальная диагностика - измерение электропроводности

Ионная ассоциация

Н.Бьеррум (1926 г.)

Вероятность найти соседа (j) на поверхности сферы радиуса r

Р.М. Фуосс (1958 г.)



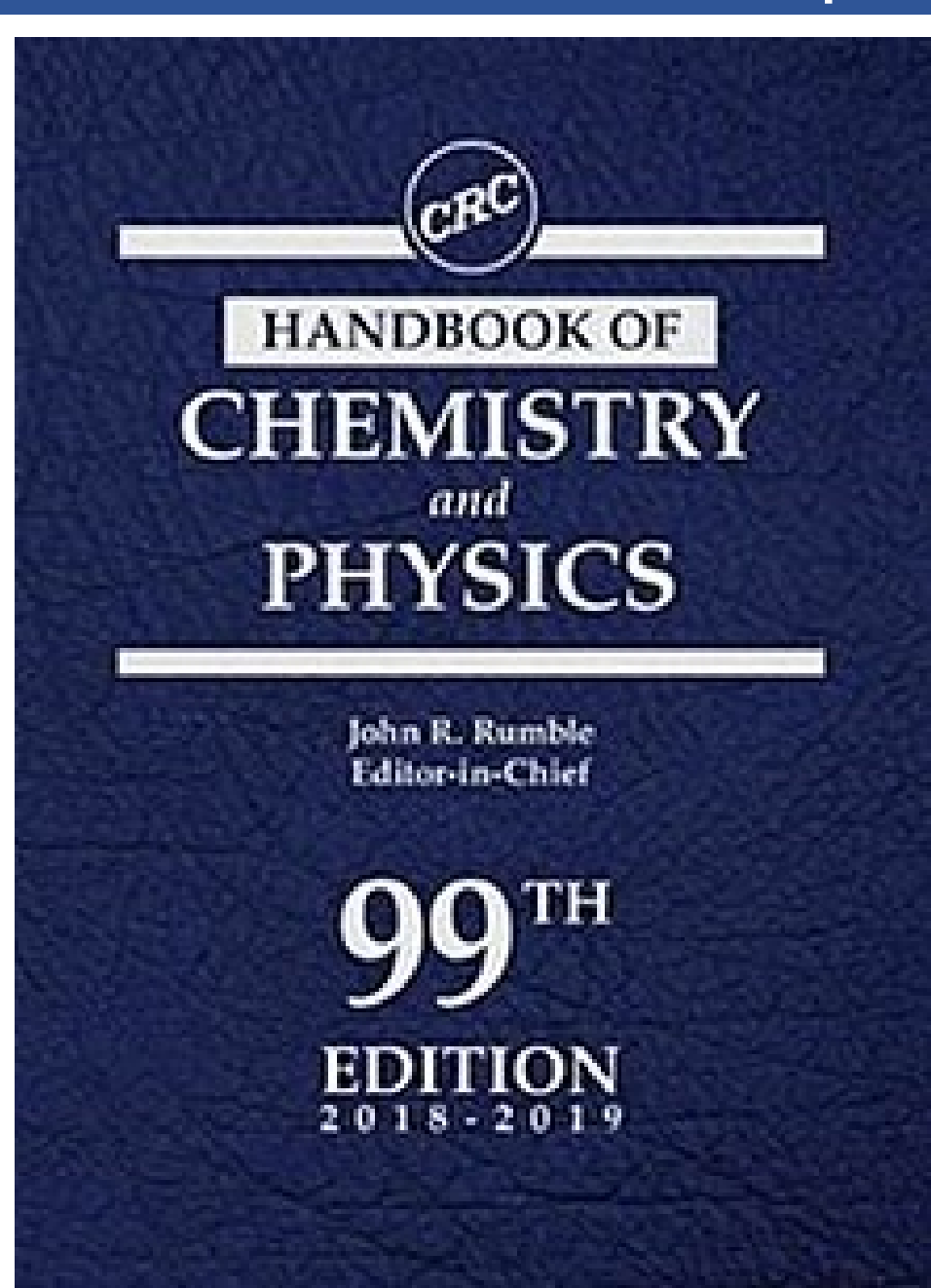
Домашнее задание - 2

Групп	a 1	Группа	a 2	Группа	ı 3	Групп	a 4	Групп	a 5
m/mol kg ⁻¹	$AgNO_3$	m/mol kg ⁻¹	CsBr	m/mol kg ⁻¹	K_2SO_4	m/mol kg ⁻¹	${\bf MgBr_2}$	m/mol kg ⁻¹	NH ₄ ClO ₄
0.001 0.002 0.005 0.010 0.020 0.050 0.100 0.200	0.964 0.950 0.924 0.896 0.859 0.794 0.732 0.656	0.001 0.002 0.005 0.010 0.020 0.050 0.100 0.200	0.965 0.951 0.925 0.898 0.864 0.806 0.752 0.691	0.001 0.002 0.005 0.010 0.020 0.050 0.100 0.200	0.885 0.844 0.772 0.704 0.625 0.511 0.424 0.343	0.001 0.002 0.005 0.010 0.020 0.050 0.100 0.200	0.889 0.852 0.790 0.733 0.672 0.593 0.543 0.512	0.001 0.002 0.005 0.010 0.020 0.050 0.100 0.200	0.964 0.950 0.924 0.895 0.859 0.794 0.734 0.663
0.500 1.000 2.000 5.000 10.000 15.000	0.536 0.430 0.316 0.181 0.108 0.085	0.500 1.000 2.000 5.000 10.000	0.605 0.540 0.485 0.454	0.500	0.251	0.500 1.000 2.000 5.000	0.540 0.715 1.590 36.1	0.500 1.000 2.000	0.560 0.479 0.399

Приведены коэффициенты активности в водных растворах солей. Определите параметр второго приближения теории Дебая-Хюккеля. Проанализируйте величины параметра «а» с учетом сольватации ионов.

(получившиеся графики либо присылайте на почту, либо приносите с собой на ноутбуках, чтобы можно было посмотреть)

Справочные материалы



MEAN ACTIVITY COEFFICIENTS OF ELECTROLYTES AS A FUNCTION OF CONCENTRATION

The mean activity coefficient γ of an electrolyte $X_a Y_b$ is defined as

$$\gamma = \left(\gamma_+^a \gamma_-^b\right)^{1/(a+b)}$$

where γ_{+} and γ_{-} are activity coefficients of the individual ions (which cannot be directly measured). This table gives the mean activity coefficients of about 100 electrolytes in aqueous solution as a function of concentration, expressed in molality terms. All values refer to a temperature of 25°C. Substances are arranged in alphabetical order by formula.

REFERENCES

- Hamer, W. J., and Wu, Y. C., J. Phys. Chem. Ref. Data, 1, 1047, 1972.
- Staples, B. R., J. Phys. Chem. Ref. Data, 6, 385, 1977; 10, 767, 1981; 10, 779, 1981.
- Goldberg, R. N. et al., J. Phys. Chem. Ref. Data, 7, 263, 1978; 8, 923, 1979; 8, 1005, 1979; 10, 1, 1981; 10, 671, 1981.

Mean Activity Coefficient at 25°C

0.001	m/mol kg ⁻¹	$AgNO_3$	$BaBr_2$	BaCl ₂	BaI_2	CaBr ₂	CaCl ₂	CaI ₂	
0.005	0.001	0.964	0.881	0.887	0.890	0.890	0.888	0.890	
0.010 0.896 0.727 0.721 0.737 0.735 0.727 0.736 0.020 0.859 0.661 0.653 0.678 0.674 0.664 0.677 0.050 0.794 0.573 0.559 0.600 0.594 0.577 0.600 0.100 0.732 0.517 0.492 0.551 0.540 0.517 0.552 0.200 0.656 0.463 0.436 0.520 0.502 0.469 0.524 0.500 0.536 0.435 0.391 0.536 0.500 0.444 0.554 1.000 0.430 0.470 0.393 0.664 0.604 0.495 0.729 0.200 0.316 0.654 1.242 1.125 0.784 1.000 0.108 18.7 5.907 43.1 18.7 5.907 10.000 0.085	0.002	0.950	0.850	0.849	0.853	0.853	0.851	0.853	
0.020 0.859 0.661 0.653 0.678 0.674 0.664 0.677 0.050 0.794 0.573 0.559 0.600 0.594 0.577 0.600 0.100 0.732 0.517 0.492 0.551 0.540 0.517 0.552 0.200 0.656 0.463 0.436 0.520 0.502 0.469 0.524 0.500 0.536 0.435 0.391 0.536 0.500 0.444 0.554 0.500 0.430 0.470 0.393 0.664 0.604 0.495 0.729 0.200 0.316 0.654 1.242 1.125 0.784 0.500 0.181 18.7 5.907 10.000 0.108 18.7 5.907 10.000 0.085 18.88 0.890 0.889 0.887 0.888 0.965 0.002 0.8837 0.851 0.854 0.852 0.849 0.850 0.951 0.005 0.759 0.787 0.794 0.789 0.783 0.786 0.925 0.010 0.681 0.728 0.704 0.732 0.724 0.728 0.898 0.020 0.589 0.664 0.681 0.670 0.661 0.663 0.864 0.050 0.451 0.576 0.605 0.586 0.582 0.576 0.806 0.100 0.344 0.515 0.556 0.528 0.540 0.516 0.752 0.200 0.247 0.465 0.523 0.483 0.454 0.500 0.009 0.0098 0.441 0.517 0.552 0.500 0.148 0.428 0.538 0.465 0.592 0.845 0.492 0.501 0.000 0.098 0.437 0.465 0.523 0.483 0.527 0.469 0.691 0.500 0.0098 0.447 0.465 0.523 0.483 0.527 0.469 0.691 0.500 0.0098 0.447 0.465 0.523 0.483 0.527 0.469 0.691 0.500 0.0098 0.447 0.465 0.523 0.483 0.527 0.469 0.691 0.500 0.148 0.428 0.538 0.465 0.596 0.445 0.605 0.500 0.045 0.0098 0.437 0.685 0.532 0.845 0.492 0.540 0.500 0.0098 0.437 0.685 0.532 0.845 0.492 0.540 0.500 0.0098 0.437 0.685 0.532 0.845 0.492 0.540 0.500 0.0098 0.437 0.685 0.532 0.845 0.492 0.540 0.500 0.0098 0.437 0.685 0.532 0.845 0.492 0.540 0.500 0.0098 0.437 0.685 0.532 0.845 0.492 0.540 0.500 0.0098 0.437 0.685 0.532 0.845 0.492 0.540 0.500 0.0098 0.437 0.685 0.532 0.845 0.492 0.540 0.500 0.0098 0.437 0.685 0.532 0.845 0.492 0.540 0.500 0.0098 0.437 0.685 0.532 0.845 0.492 0.540 0.500 0.0098 0.437 0.685 0.532 0.845 0.492 0.540 0.500 0.0098 0.437 0.685 0.532 0.845 0.492 0.540 0.500 0.0098 0.437 0.685 0.532 0.845 0.492 0.540 0.500 0.0098 0.437 0.685 0.532 0.845 0.492 0.540 0.500 0.0098 0.437 0.685 0.532 0.845 0.492 0.540 0.500 0.0098 0.437 0.685 0.532 0.845 0.492 0.540 0.500 0.0098 0.437 0.685 0.532 0.845 0.492 0.540 0.500 0.0098 0.437 0.685 0.532 0.845 0.492 0.540 0.550 0.0098 0.454 0.550 0.550 0.550 0.550 0.550 0.550	0.005	0.924	0.785	0.782	0.792	0.791	0.787	0.791	
0.050 0.794 0.573 0.559 0.600 0.594 0.577 0.600 0.100 0.732 0.517 0.492 0.551 0.540 0.517 0.552 0.200 0.656 0.463 0.436 0.520 0.502 0.469 0.524 0.500 0.536 0.435 0.391 0.536 0.500 0.444 0.554 1.000 0.430 0.470 0.393 0.664 0.604 0.495 0.729 2.000 0.316 0.654 1.242 1.125 0.784 0.784 5.000 0.181 18.7 5.907 10.000 0.108 43.1 15.000 0.085 Cd(NO ₃) ₂ CoBr ₂ CoCl ₂ CoI ₂ Co(NO ₃) ₂ CsBr 0.001 0.881 0.888 0.890 0.889 0.887 0.888 0.965 0.002 0.837 0.851 0.854 0.852 0.849 0.850 0.951 0.005 <t< td=""><td>0.010</td><td>0.896</td><td>0.727</td><td>0.721</td><td>0.737</td><td>0.735</td><td>0.727</td><td>0.736</td><td></td></t<>	0.010	0.896	0.727	0.721	0.737	0.735	0.727	0.736	
0.100	0.020	0.859	0.661	0.653	0.678	0.674	0.664	0.677	
0.200	0.050	0.794	0.573	0.559	0.600	0.594	0.577	0.600	
0.500	0.100	0.732	0.517	0.492	0.551	0.540	0.517	0.552	
1.000	0.200	0.656	0.463	0.436	0.520	0.502	0.469	0.524	
2.000	0.500	0.536	0.435	0.391	0.536	0.500	0.444	0.554	
5.000 0.181 18.7 5.907 10.000 0.108 43.1 15.000 0.085 43.1 m/mol kg⁻¹ Cd(NO₂)₂ Cd(NO₃)₂ CoBr₂ CoCl₂ CoI₂ Co(NO₃)₂ CsBr 0.001 0.881 0.888 0.890 0.889 0.887 0.888 0.965 0.002 0.837 0.851 0.854 0.852 0.849 0.850 0.951 0.005 0.759 0.787 0.794 0.789 0.783 0.786 0.925 0.010 0.681 0.728 0.740 0.732 0.724 0.728 0.898 0.020 0.589 0.664 0.681 0.670 0.661 0.663 0.864 0.050 0.451 0.576 0.605 0.586 0.582 0.576 0.806 0.100 0.344 0.515 0.556 0.528 0.540 0.516 0.752 0.200 0.247 0.465 0.523 0.483 0.527 0.469 0.691 0.500 0.148 0.428	1.000	0.430	0.470	0.393	0.664	0.604	0.495	0.729	
$\begin{array}{c ccccccccccccccccccccccccccccccccccc$	2.000	0.316	0.654		1.242	1.125	0.784		
$m/mol \ kg^{-1}$ $Cd(NO_2)_2$ $Cd(NO_3)_2$ $CoBr_2$ $CoCl_2$ CoI_2 $Co(NO_3)_2$ $CsBr$ 0.001 0.881 0.888 0.890 0.889 0.887 0.888 0.965 0.002 0.837 0.851 0.854 0.852 0.849 0.850 0.951 0.005 0.759 0.787 0.794 0.789 0.783 0.786 0.925 0.010 0.681 0.728 0.740 0.732 0.724 0.728 0.898 0.020 0.589 0.664 0.681 0.670 0.661 0.663 0.864 0.050 0.451 0.576 0.605 0.586 0.582 0.576 0.806 0.100 0.344 0.515 0.556 0.528 0.540 0.516 0.752 0.200 0.247 0.465 0.523 0.483 0.527 0.469 0.691 0.500 0.148 0.428 0.538 0.465 0.596 0.446	5.000	0.181				18.7	5.907		
$m/mol \ kg^{-1}$ $Cd(NO_2)_2$ $Cd(NO_3)_2$ $CoBr_2$ $CoCl_2$ CoI_2 $Co(NO_3)_2$ $CsBr$ 0.001 0.881 0.888 0.890 0.889 0.887 0.888 0.965 0.002 0.837 0.851 0.854 0.852 0.849 0.850 0.951 0.005 0.759 0.787 0.794 0.789 0.783 0.786 0.925 0.010 0.681 0.728 0.740 0.732 0.724 0.728 0.898 0.020 0.589 0.664 0.681 0.670 0.661 0.663 0.864 0.050 0.451 0.576 0.605 0.586 0.582 0.576 0.806 0.100 0.344 0.515 0.556 0.528 0.540 0.516 0.752 0.200 0.247 0.465 0.523 0.483 0.527 0.469 0.691 0.500 0.148 0.428 0.538 0.465 0.596 0.446	10.000	0.108					43.1		
0.001 0.881 0.888 0.890 0.889 0.887 0.888 0.965 0.002 0.837 0.851 0.854 0.852 0.849 0.850 0.951 0.005 0.759 0.787 0.794 0.789 0.783 0.786 0.925 0.010 0.681 0.728 0.740 0.732 0.724 0.728 0.898 0.020 0.589 0.664 0.681 0.670 0.661 0.663 0.864 0.050 0.451 0.576 0.605 0.586 0.582 0.576 0.806 0.100 0.344 0.515 0.556 0.528 0.540 0.516 0.752 0.200 0.247 0.465 0.523 0.483 0.527 0.469 0.691 0.500 0.148 0.428 0.538 0.465 0.596 0.446 0.605 1.000 0.098 0.437 0.685 0.532 0.845 0.492 0.540	15.000	0.085							
0.001 0.881 0.888 0.890 0.889 0.887 0.888 0.965 0.002 0.837 0.851 0.854 0.852 0.849 0.850 0.951 0.005 0.759 0.787 0.794 0.789 0.783 0.786 0.925 0.010 0.681 0.728 0.740 0.732 0.724 0.728 0.898 0.020 0.589 0.664 0.681 0.670 0.661 0.663 0.864 0.050 0.451 0.576 0.605 0.586 0.582 0.576 0.806 0.100 0.344 0.515 0.556 0.528 0.540 0.516 0.752 0.200 0.247 0.465 0.523 0.483 0.527 0.469 0.691 0.500 0.148 0.428 0.538 0.465 0.596 0.446 0.605 1.000 0.098 0.437 0.685 0.532 0.845 0.492 0.540	m/mol kg-l	Cd(NO2)	C4(NO.)	CoBr	CoCl		Cols	Co(NO ₂)	CsBr
0.002 0.837 0.851 0.854 0.852 0.849 0.850 0.951 0.005 0.759 0.787 0.794 0.789 0.783 0.786 0.925 0.010 0.681 0.728 0.740 0.732 0.724 0.728 0.898 0.020 0.589 0.664 0.681 0.670 0.661 0.663 0.864 0.050 0.451 0.576 0.605 0.586 0.582 0.576 0.806 0.100 0.344 0.515 0.556 0.528 0.540 0.516 0.752 0.200 0.247 0.465 0.523 0.483 0.527 0.469 0.691 0.500 0.148 0.428 0.538 0.465 0.596 0.446 0.605 1.000 0.098 0.437 0.685 0.532 0.845 0.492 0.540 2.000 0.069 0.517 1.421 0.864 2.287 0.722 0.485	millor kg	cu(rop ₁	Cu(r.O3)2	Cobi	Coci	L	C012	C0(1103)2	Cabi
0.005 0.759 0.787 0.794 0.789 0.783 0.786 0.925 0.010 0.681 0.728 0.740 0.732 0.724 0.728 0.898 0.020 0.589 0.664 0.681 0.670 0.661 0.663 0.864 0.050 0.451 0.576 0.605 0.586 0.582 0.576 0.806 0.100 0.344 0.515 0.556 0.528 0.540 0.516 0.752 0.200 0.247 0.465 0.523 0.483 0.527 0.469 0.691 0.500 0.148 0.428 0.538 0.465 0.596 0.446 0.605 1.000 0.098 0.437 0.685 0.532 0.845 0.492 0.540 2.000 0.069 0.517 1.421 0.864 2.287 0.722 0.485 5.000 0.054 13.9 55.3 3.338 0.454	0.001	0.881	0.888	0.890	0.889		0.887	0.888	0.965
0.010 0.681 0.728 0.740 0.732 0.724 0.728 0.898 0.020 0.589 0.664 0.681 0.670 0.661 0.663 0.864 0.050 0.451 0.576 0.605 0.586 0.582 0.576 0.806 0.100 0.344 0.515 0.556 0.528 0.540 0.516 0.752 0.200 0.247 0.465 0.523 0.483 0.527 0.469 0.691 0.500 0.148 0.428 0.538 0.465 0.596 0.446 0.605 1.000 0.098 0.437 0.685 0.532 0.845 0.492 0.540 2.000 0.069 0.517 1.421 0.864 2.287 0.722 0.485 5.000 0.054 13.9 55.3 3.338 0.454	0.002	0.837	0.851	0.854	0.852		0.849	0.850	0.951
0.020 0.589 0.664 0.681 0.670 0.661 0.663 0.864 0.050 0.451 0.576 0.605 0.586 0.582 0.576 0.806 0.100 0.344 0.515 0.556 0.528 0.540 0.516 0.752 0.200 0.247 0.465 0.523 0.483 0.527 0.469 0.691 0.500 0.148 0.428 0.538 0.465 0.596 0.446 0.605 1.000 0.098 0.437 0.685 0.532 0.845 0.492 0.540 2.000 0.069 0.517 1.421 0.864 2.287 0.722 0.485 5.000 0.054 13.9 55.3 3.338 0.454	0.005	0.759	0.787	0.794	0.789		0.783	0.786	0.925
0.050 0.451 0.576 0.605 0.586 0.582 0.576 0.806 0.100 0.344 0.515 0.556 0.528 0.540 0.516 0.752 0.200 0.247 0.465 0.523 0.483 0.527 0.469 0.691 0.500 0.148 0.428 0.538 0.465 0.596 0.446 0.605 1.000 0.098 0.437 0.685 0.532 0.845 0.492 0.540 2.000 0.069 0.517 1.421 0.864 2.287 0.722 0.485 5.000 0.054 13.9 55.3 3.338 0.454	0.010	0.681	0.728	0.740	0.732		0.724	0.728	0.898
0.100 0.344 0.515 0.556 0.528 0.540 0.516 0.752 0.200 0.247 0.465 0.523 0.483 0.527 0.469 0.691 0.500 0.148 0.428 0.538 0.465 0.596 0.446 0.605 1.000 0.098 0.437 0.685 0.532 0.845 0.492 0.540 2.000 0.069 0.517 1.421 0.864 2.287 0.722 0.485 5.000 0.054 13.9 55.3 3.338 0.454		0.589	0.664	0.681	0.670		0.661	0.663	0.864
0.200 0.247 0.465 0.523 0.483 0.527 0.469 0.691 0.500 0.148 0.428 0.538 0.465 0.596 0.446 0.605 1.000 0.098 0.437 0.685 0.532 0.845 0.492 0.540 2.000 0.069 0.517 1.421 0.864 2.287 0.722 0.485 5.000 0.054 13.9 55.3 3.338 0.454	0.050	0.451	0.576	0.605	0.586		0.582	0.576	0.806
0.500 0.148 0.428 0.538 0.465 0.596 0.446 0.605 1.000 0.098 0.437 0.685 0.532 0.845 0.492 0.540 2.000 0.069 0.517 1.421 0.864 2.287 0.722 0.485 5.000 0.054 13.9 55.3 3.338 0.454	0.100	0.344	0.515	0.556	0.528		0.540	0.516	0.752
1.000 0.098 0.437 0.685 0.532 0.845 0.492 0.540 2.000 0.069 0.517 1.421 0.864 2.287 0.722 0.485 5.000 0.054 13.9 55.3 3.338 0.454	0.200	0.247	0.465	0.523	0.483		0.527	0.469	0.691
2.000 0.069 0.517 1.421 0.864 2.287 0.722 0.485 5.000 0.054 13.9 55.3 3.338 0.454	0.500	0.148	0.428	0.538	0.465		0.596	0.446	0.605
5.000 0.054 13.9 55.3 3.338 0.454	1.000	0.098	0.437	0.685	0.532		0.845	0.492	0.540
	2.000	0.069	0.517	1.421	0.864		2.287	0.722	0.485
10.000	5.000	0.054		13.9		5	5.3	3.338	0.454
	10.000					19	06		